

Копилатно

БЕЛОРУССКАЯ ГОСУДАРСТВЕННАЯ ОРДЕНА ТРУДОВОГО КРАСНОГО ЗНАМЕНИ  
ПОЛИТЕХНИЧЕСКАЯ АКАДЕМИЯ

На правах рукописи

АЛЕУТОВ Александр Леонардович

РАЗРАБОТКА КОМБИНИРОВАННОГО ПРОЦЕССА  
ОТДЕЛОЧНО-ЗАЧИСТНОЙ И УПРОЧНЯЮЩЕЙ ОБРАБОТКИ ДЕТАЛЕЙ  
ИЛЮМИНЕСЦЕНТНЫМ И ПОВЕРХНОСТНЫМ ПЛАСТИЧЕСКИМ ДЕФОМИРОВАНИЕМ

05.02.08 - Технология машиностроения  
05.03.01 - Процессы механической и физико-технической  
обработки, станки и инструмент

Автореферат диссертации на соискание  
ученой степени кандидата технических наук

М и н с к 1 9 9 2

Работа выполнена в Белорусской государственной политехнической академии.

Научный руководитель - кандидат технических наук, коллен.

ВАШКИН И. П.

Официальные оппоненты - доктор технических наук, профессор, академик АН РБ ШИШЕВИЧ И. И.,

- кандидат технических наук, старший научный сотрудник ПИУСОПН Е. П.

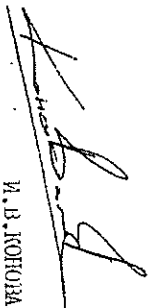
Удущее предприятие - производственное объединение "Белавтомат"

Защита состоится " 14 " апреля 1992 г. в 10.00 часов на заседании специализированного совета Д 056.02.03 по защите диссертаций на соискание ученой степени доктора наук в Белорусской государственной политехнической академии по адресу: 220027, г. Минск, пр. Ф. Скорины, 65, код. 1, ауд. 202. С диссертацией можно ознакомиться в библиотеке академии.

Автореферат разослан " \_\_\_ " марта 1992 г.

Ученый секретарь

специализированного совета  
кандидат технических наук,  
доцент



И. В. КОНОНАЛОВА

#### ОБЩИЕ ХАРАКТЕРИСТИКА РАБОТЫ

Актуальность темы. Большую роль в обеспечении качества деталей играют операции отлочно-защитной и упрочняющей обработки, которым подвергается 85-95% изготавливаемых деталей. На 40-45% из отмененного количества деталей затем наносится покрытие. Известно, что по 70% затрат на нанесение покрытия связано с механической подготовкой поверхностей.

Значительный объем трубных заготовок, примененных в изготовлении, подвергается отлочно-защитной обработке.

Использование для этого технологического процесса включает черновое шлифование с последующим многоскоростным декоративным шлифованием и полированием. Данный технологический процесс требует трудоемкого ручного изготовления кругов для декоративного шлифования и полирования и является экологически вредным, т.к. при отмененных процессах декоративной обработки происходит образование абразивной пыли с частыми следами (связки).

Этим недостатком лишены процессы шлифрезерования и поверхностного пластического деформирования (ПД), которые характерны для широких технологическими возможностями, в значительной мере определяемыми полдливостью режущих элементов шлифрезерования. Указанные особенности позволяют использовать шлифрезерование и ПД для отлочно-защитной и упрочняющей обработки деталей, например трубных, со значительными погрешностями формы.

Разработка комбинированного процесса шлифрезерования и ПД позволяет сочетать преимущества комбинированных процессов при отлочно-защитной и упрочняющей обработке деталей, к которым не предъявляются высокие точностные требования, в частности, при механической подготовке поверхностей нерезаненных защитных и защитно-декоративных технологических покрытий.

Цели работы. Разработать комбинированного процесса отлочно-защитной и упрочняющей обработки деталей шлифрезерованием и ПД на основе научного формирования комплекса параметров качества поверхности, технологического управления ими и их оптимизации на операциях шлифрезерования и ПД.

Методика исследований. В работе использованы теоретические и экспериментальные методы исследования технологического обеспечения параметров качества поверхностного слоя.

Исследования проводили на поверхности детали из стали и группы излучения с помощью специально разработанной установки и динамометрического комплеса. Исследования технологического обеспечения параметров качества деталей при илфрезеровании выполнялись на универсально-фрезерном станке с использованием специально разработанной установки. Качество обработанных поверхностей оценивалось по комплексу параметров макро- и микрогеометрии, микротвердости, остаточных напряжений и использованным современными измерительной аппаратурой. Математические модели изменения параметров качества при илфрезеровании получены с применением положений математической статистики, теории планирования эксперимента и реализованы на ЭВМ. Оптимизация процесса илфрезерования осуществлялась на основе решения комплексной задачи с применением математических методов Лангранжа, Ньютона, Гауса и реализована на ЭВМ.

Научная новизна. Выявлены закономерности формирования поверхностного слоя при илфрезеровании на основе изучения воздействия на поверхность деталей единичной илф и турбулентности.

Исследовано влияние операций илфрезерования и последующего ШД на формирование профиля параметров макро- и микрогеометрии, а также физико-механического состояния поверхности.

Получены математические модели изменения параметров качества при илфрезеровании в зависимости от параметров режима обработки, исследовано влияние параметров режима обработки илфрезерования и ШД на коррозионную стойкость деталей.

На основе решения комплексной задачи выполнена оптимизация процесса илфрезерования, позволяющая определять экспериментальной характеристикой процесса или параметра качества при различных начальных условиях характерной процессом или параметром качества.

Практическая ценность. Результаты работы используются в разработке комбинированных технологий.

тический процесс, включающий илфрезерование и поверхностьное илфрезерование неформирование роликами (а.с. 1355467).

Разработан и внедрен способ обработки (а.с. 1371800), позволяющий осуществлять комбинированную обработку илфрезерованием и ШД с использованием одной илфрезы.

Разработаны основные рекомендации по проектированию оборудования для комбинированной обработки, а также ряд технических решений в конструкторской документации илфрезерного станка (а.с. 1615889, 1634392, 1668058).

Разработанные практические рекомендации и технологический процесс обработки прошли промышленную апробацию и реализацию в условиях Минского государственного (МГБЗ). По заданию ЦКБ Восточного (Харьков) экономического эффекта от внедрения процесса на одном заводском станке 35-40 тыс.руб. в год. Внедрение на МГБЗ технологического процесса только 6-ти наименований деталей позволило получить годовой экономический эффект 5.142 тыс.руб.

Адресация работы. Основные положения диссертации полагались и обсуждались на: 6-ой Международной научной конференции "Ratima Visiting im Maschinenbau durch Schiffs-*Schiffbau*" в Цинкау, Германия, 1989; Всесоюзный научно-технический симпозиум: "Интенсификация технологических процессов механической обработки", Ленинград, 1986; "Новые технологии обработки материалов", Брянск, 1986; "Состояние и перспективы развития электротехнологии", Иваново, 1987; "Прогрессивные методы и средства защиты металлов и изделий от коррозии", Москва, 1988; "Разработка и промышленная реализация новых механических и физико-химических методов обработки", Москва, 1988; республиканских и региональных научно-технических конференций и семинаров: "Прогрессивные методы технологической обработки деталей машин и приборов", Пенза, 1986; "Пути повышения технического уровня и надежности машин", Минск, 1986; "Технический прогресс в металлообработке", Москва, 1986; "Технологический прогресс в металлорежущей обработке", Саратов, 1987; "Интенсификация и автоматизация технологического процесса обработки деталей машин и приборов", Ростов-на-Дону, 1988; "Интенсификация процессов механической обработки и сборки в машиностроении", Торжок, 1988; "Новый высокоэффективный

режущий инструмент и оснастка - средство инженерной школы машиностроительного завода "Ленинград, 1989; научно-технические конференции профсоюзно-представительского состава ВМЗ в 1984-88 гг.

Публикации. По теме диссертации опубликовано 46 печатных работ и получено 20 авторских свидетельств на изобретения.

Объем работы. Диссертационная работа состоит из введения, шести глав, библиографии, списка литературы и приложений. Изложена на 252 страницах, в том числе содержит 123 страницы машинописного текста, 24 таблицы, 70 рисунков, список литературы из 161 наименования и приложений на 40 страницах.

#### СОДЕРЖАНИЕ РАБОТЫ

Введены и обоснована актуальность работы, дана краткая характеристика комбинированных процессов изготовления и ШД, определены основные направления исследований.

Приведены основные направления анализа литературных данных о современном состоянии отливочно-закалочной и упрочняющей обработки.

Отмечено широкое использование в промышленности процессов отливочно-закалочной и упрочняющей обработки, основной объем (до 80%) которой приходится на детали с размерами до 640 мм.

Определен объем отливочно-закалочной обработки на двух ведущих предприятиях машиностроительности: Минском машиностроительном (ММВЗ) и Харьковском завододе (ХЗЗ) - около 15 млн. деталей в год, из которых 53% составляют детали трубной формы.

Приведен анализ влияния параметров качества поверхности (шероховатости, микротвердости, остаточных напряжений) на характеристики наносимого покрытия.

Разомножены особенности различных методов механической отливочно-закалочной и упрочняющей обработки, таких как абразивная, кислотная, комбинированная и совмещенная обработки резанием и ШД.

В результате анализа, проведенного в главе 1, сформулированы следующие задачи исследования:

1. Определить закономерности формирования поверхности

основ при отливочно-закалочной, вытекающие из особенностей взаимодействия с поверхностью единичной иглы и группы игл.

2. Исследовать закономерности получения и последующей обработки при комбинированной обработке отливочно-закалочной и ШД.

3. Исследовать влияние операций отливочно-закалочной и ШД на формирование параметров микротвердости и физико-механического состояния поверхности детали.

4. Разработать математические модели изменения параметров качества поверхности и коррозионной стойкости деталей при отливочно-закалочной и ШД.

5. Осуществить оптимизацию процесса отливочно-закалочной и ШД.

6. Разработать технологический процесс комбинированной обработки отливочно-закалочной и ШД.

7. Разработать рекомендации по проектированию оборудования для реализации комбинированной обработки.

Вот основные результаты исследования по поверхности слоя детали при воздействии на поверхность детали единичной иглы и группы игл. Отмечено, что особенностью процесса отливочно-закалочной является многократное воздействие иглы на элементные участки поверхности.

Описана конструкция разработанной для проведения экспериментов установки, содержащей устройство для зажима образцов и иглы (группы игл) и динамометрический комплект. Исследование проводилось на образцах из стали ст.10 (ПВ 143) и 45 (ПВ 197-307), которые подвергались отливочно-закалочной и полировке с целью точной фиксации параметров микротвердости единичного среза. В качестве иглы применены отрезки проволоки диаметром 0,9 мм из стали 65Г.

Исследования позволили определить основные характеристики формирования единичного среза: тангенциальную ( $P_z = 0,4-2,2$  Н для стали 45,  $P_z = 0,26-2,1$  Н для стали ст.10) и радиальную ( $P_r = 0,48-1,65$  Н для стали 45,  $P_r = 0,3-1,1$  Н для стали ст.10) составляющие сил резания. Установлено, что с увеличением нагрузки уровень составляющих сил резания  $P_z$  и  $P_r$  растет, а с увеличением скорости резания и вылета иглы - снижается. Это объясняется тем,

что с ростом нагрузки увеличивается диаметральный нагнетатель, а с увеличением скорости резания происходит рост температуры в поверхностном слое, приводящий к его разуплотнению. С увеличением на-

лега и при расчете ее упругие отжатия, что приводит к уменьшению глубины внедрения.

Располагаясь изменением динамического коэффициента  $P_2/P_1$ , который с увеличением параметров режима резания возрастает. В наибольшей степени на указанный коэффициент оказывает влияние изменение величины налета. Так, в частности, увеличение налета в пределах 0,1-0,3 мм приводит к увеличению динамического коэффициента для стали ст.10 в диапазоне 0,85-1,9.

Характер изменения величины составляющих сил резания в зависимости от количества или носит немотопонный характер.

Определены параметры микропрофиля единичного среза: глубина и ширина среза, высота и ширина навалов по краям среза, площади сечения среза и навалов. Зависимости параметров микропрофиля единичного среза от скорости резания и налета носят экстремальный характер с четко выраженным максимумом. Увеличение вылета иглы приводит к снижению параметров микропрофиля единичного среза.

Выявлено, что формирование микропрофиля единичного среза может осуществляться с определенным различием видов стружки: сплошной и оулетающей.

Изучен фрикционный контакт иглы с поверхностью единичного среза с учетом величины площади износа на торце иглы. Установлено, что результирующая сила, действующая на иглу, в этом случае определяется

$$R = N \sqrt{1 + \left( \frac{1 - \mu \cdot \tan \gamma}{\tan \gamma + \mu} \cdot \mu \right)^2}$$

где  $N$  - нормальная сила, Н;  $\gamma$  - угол отжима иглы (передний угол), град;  $\mu$  - коэффициент трения.

С учетом фрикционного контакта иглы с металлом по передней поверхности и площади износа на задней поверхности со впадиной микропрофиля единичного среза рассчитан передний угол иглы, значение которого хорошо согласуется с известными экспериментальными данными по его определению.

В т р о е т ь д л а в е разработана общая методика исследования технологического обеспечения параметров качества деталей. На основе анализа номограммы труб одних из крупнейших в стране производителей указанных заготовок - ММБЗ и ХВЗ по трем характеристикам: наружному диаметру, длине обработки и марке об-

работаемого материала был выбран прототипный объект исследования: труба из стали 300 мм из стали ст.10.

Для проведения экспериментов выбрали из размеров обрабатываемых заготовок и рабочее пространство станка применялась иглофреза с наружным диаметром 150 мм, шириной рабочей части 22, вылетом и диаметром иглы соответственно 14 и 0,32 мм.

Для выполнения экспериментов разработана установка и технология подготовки иглофрезы к работе.

Измерение параметров шероховатости и продольной волнистости производилось на профилотрафе-профилметре "Talysurf-5-120", поперечной волнистости на кругломере "Talysurf" 73", параметров микрошерошкости на приборе "Akashi-MX". Отгаченные напильники определялись по методу Н.Н.Давиденкова с использованием универсального измерительного микроскопа мод. 692 фирмы "Carl Zeiss Jena". Коррозонная стойкость определялась скоростью усадки массы и проницаемостью, которые определялись с применением лабораторных аналитических весов мол.ВдА-200г-М.

Для определения влияния параметров режима иглофрезерования на изменение параметров качества поверхности разработан центральный композиционный ортогональный план (КОП), реализованный на языке FORTRAN-IV применительно к ЭВМ БС-1035.

Оптимизация технологического процесса иглофрезерования осуществлялась на основе исследования области оптимума и решения композиционной задачи, выполненных с применением ЭВМ.

В ч е т в е р т о й г л а в е приведены результаты экспериментальных исследований качества поверхностей деталей после обработки иглофрезерованием.

Расмотрены жесткая и упругая схемы установки иглофрез. Установлено, что упругая схема установки иглофрезы является предпочтительной при отделочно-заключительной обработке.

Определено влияние жесткости пружины, применяемой при упругой схеме установки, на высоту микрошерошкостей и отклонение от круглости деталей.

Установлено, что иглофрезерование с применением упругой схемы установки микротрещины не снижает точности и стабильности расованных диаметров. При этом повышается стабиль-

после отклонения от круглости и цилиндричности, описывается величина отклонения от цилиндричности и не изменяется величина отклонения от круглости.

Между параметрами точности до и после шлифрезерования следует прямолнейная корреляционная связь с преобладающими параметрами погрешностей заточки (линейный размер - 56,3%, отклонение от круглости - 95,4%, отклонение от цилиндричности - 91,8%).

Осуществлен анализ комплекса параметров качества поверхности, обработанных на следующих режимах: скорость резания  $V_f = 60-240$  м/мин, продольная подача  $S_{пр} = 2,5-10$  мм/об, круглая подача  $S_{кр} = 1,38-4,46$  м/мин, угол заточки  $P = 150-250$  н. Основные параметры качества поверхности, обработанных шлифрезерованием, приведены в таблице.

Таблица

Основные параметры качества поверхностей, обработанных шлифрезерованием

$R_a$ мкм	$R_p$ мкм	$R_{max}$ мкм	$R_z$ мкм	$S_m$ мкм	$S$ мкм	$P$ мкм
0,26-2,58	2,23-13,7	4,34-20,2	1,66-12,9	170-536	91-455	91-126
$\vartheta^\circ$	$W_{пр}$ мм	$W_{поп}$ мм	$G_\theta$ МПа	$h$ мм	$H_D$ н	$H_{исх}$ н
2,42-11,3	0,36-3,0	38-48	300-800	0,01-0,24	1500-1550	1500-2560

$P$  - средний радиус неровностей профиля,  $\vartheta$  - средний угол наклона боковой стороны профиля,  $W_{пр}$ ,  $W_{поп}$  - продольная и поперечная волнистость соответственно,  $G_\theta$  - остаточные напряжения,  $h$  - глубина упрочненного слоя,  $H_D$  - микротвердость поверхности.

Установлено, что максимальные сжимающие остаточные напряжения наблюдаются на поверхности детали; при удалении от поверхности в глубину металла уровень сжимающих остаточных напряжений резко снижается с последующим переходом в растягивающие напряжения.

Реализация ИКОП позволила получить математические модели

изменения параметров качества

$$y = B_0 + \sum_{i=1}^k B_i X_i + \sum_{i=1}^k B_{ij} X_i X_j + \sum_{i=1}^k B_{ii} X_i^2,$$

где  $y$  - значение параметра качества,  $X_i$  - значение параметра режима обработки,  $k = 4$  - количество изменяемых параметров режима обработки.

Для приведенных ниже параметров качества поверхности математические модели имеют вид

$$R_a = 1,075 - 0,020 V_f + 0,023 S_{пр} - 0,341 S_{кр} + 0,009 P + 0,0005 V_f S_{пр} + 0,001 V_f S_{кр} + 0,022 S_{пр} S_{кр} + 0,00004 V_f^2 - 0,013 S_{пр}^2$$

$$S_m = 363,479 - 0,739 V_f - 14,234 S_{пр} - 173,655 S_{кр} + 0,953 P + 0,07 V_f S_{пр} + 0,188 V_f S_{кр} + 0,167 S_{пр} S_{кр} - 0,307 S_{кр} P - 2,376 S_{пр}^2 + 35,423 S_{кр}^2$$

$$H_D = 3536,813 - 10,922 V_f + 38,437 S_{пр} + 39,978 S_{кр} - 14,524 P + 0,0141 V_f P - 14,472 S_{пр} S_{кр} + 0,0263 V_f^2 + 0,0379 P^2$$

$$G_\theta = -365,9 + 2,27 V_f - 120,35 S_{пр} - 8,11 S_{кр} + 0,425 P + 0,191 V_f S_{пр} - 0,014 V_f P + 3,40 S_{пр} S_{кр} + 0,14 S_{пр} P + 4,23 S_{пр}^2$$

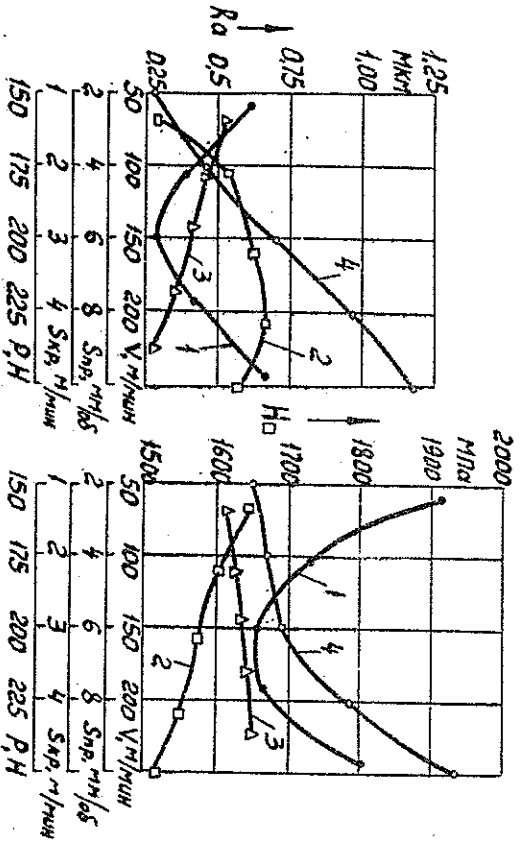
Некоторые графические зависимости, полученные в результате анализа математических моделей изменения параметров качества, приведены на рисунке.

Осуществлена оптимизация параметров режима шлифрезерования по критерию достижения минимального значения параметра шероховатости  $R_a$ . Установлено, что поверхность отклика параметра  $R_a$  имеет минимаксный характер, определяющий осуществление условного минимума в точке с координатами:  $V_f = 150$  м/мин,  $S_{пр} = 2,5$  мм/об,  $S_{кр} = 4,46$  м/мин,  $P = 150$  н.

У применением методов Лагранжа, Тауоса, Ньютона решены комбинированные задачи оптимизации по определению параметров режима обработки, обеспечивающих наибольшую производительность при заданной величине высоты микронеровностей шероховатости и наибольшей микротвердости поверхности детали при заданной величине глубины упрочненного слоя.

Проведены коррозионные испытания деталей, обработанных ил-

Длинию скорости резания (1), продольной подачи (2), крутовой подачи (3), углы прижатия (4) на высоту микронеровностей Ra и микрошероховатость поверхности R<sub>z</sub>



1 -  $S_{пр} = 2,5$  мм/об,  $S_{кр} = 4,46$  мм/мин,  $R = 150$ Н; 2 -  $V = 150$  м/мин,  $S_{кр} = 2,46$  мм/мин,  $R = 150$ Н; 3 -  $V = 150$  м/мин,  $S_{пр} = 2,5$  мм/об,  $R = 150$ Н; 4 -  $V = 150$  м/мин,  $S_{пр} = 2,5$  мм/об,  $S_{кр} = 4,46$  мм/мин

лфрезерованием. С применением ИКОП получена математическая модель изменения скорости ушли массы в зависимости от величины параметров режима обработки.

Определено, что илфрезерование не ухудшает коррозионной стойкости деталей, а при определенном режиме обработки повышается по сравнению с исходной. Наибольшая коррозионная стойкость достигается при  $V = 150$  м/мин,  $S_{пр} = 6,25$  мм/об,  $S_{кр} = 2,92$  мм/мин,  $R = 200$  Н.

Влияние параметров при вращении результатов шлифобработки деталей исследованы качества поверхности деталей после ШД. Между параметрами точности деталей, обработанных илфрезерованием с последующим ШД существует тесная прямолinéйная связь с последующим наложением параметров (диаметральный зазор -

68,8%, отклонение от круглости - 94,3%, отклонение от цилиндричности - 95,8%).

Установлена тесная прямолinéйная корреляционная связь между параметрами точности заготовок и деталей после комбинированной обработки илфрезерованием и ШД. Собственная погрешность комбинированной обработки формируется в основном на операции илфрезерования.

Континентальный анализ параметров шероховатости и волнистости показал, что указанные параметры в зависимости от параметров резания ШД лежат в широком диапазоне изменений: при продольной подаче 0,1-0,7 мм/об, углы деформирования 200-1400 Н  $R_a = 0,28 - 0,41$  мкм ( $R_{a,исх} = 0,5$  мкм),  $R_{max} = 1,7-6,5$  мкм ( $R_{max,исх} = 0,55$  мкм),  $S_m = 575-720$  мкм ( $S_{m,исх} = 300$  мкм),  $W_{пр} = 0,7-1,2$  мкм ( $W_{пр,исх} = 1,25$  мкм),  $W_{гол} = 24-34$  мкм ( $W_{гол,исх} = 43$  мкм).

Отмечено, что с увеличением углы деформирования изменение диспersion параметров шероховатости носит экстремальный характер с выраженным минимумом, а шатовые параметры растут. Повышение подачи приводит к увеличению высотных параметров шероховатости и экстремальному уменьшению шатовых параметров с выраженным минимумом. Установлено, что для достижения минимальных высотных параметров шероховатости при обкатывании роликром  $R_{пр} = 10,5$  км следует принимать углы деформирования  $R = 600-800$  Н, продольную подачу  $S = 0,1-0,3$  мм/об.

Степень упрочнения поверхности после ШД илфрезерования деталей составляет 22-71%. С увеличением углы деформирования микрошероховатость поверхности и глубина упрочненного слоя возрастают, а с увеличением подачи характер изменения отмеченных характеристик упрочнения носит экстремальный характер с выраженным минимумом.

С увеличением углы деформирования уровень остаточныхжимающих напряжений повышается, а с увеличением подачи - первоначально по снижается с последующим ростом. Максимальные сжимающие напряжения достигают - 390...-750 МПа и заходят на глубине 0,03-0,09 мм ( $\sigma_{max} = -564$  МПа).

Осуществлена оценка коррозионной стойкости деталей, обработанных ШД, по скорости ушли массы. Установлено, что с увеличением углы деформирования и подачи характер изменения углы

массой носит экстремальный характер с четко выраженным минимумом. Установлено, что для достижения максимальной коррозионной стойкости при окатывании роликом с  $R_{\text{пр}} = 10,5$  мм следует принимать следующие деформирования  $R=600$  Н, продольную подачу  $S = 0,1-0,3$  мм/об. Установлено повышение износоустойчивости деталей после комбинированной обработки иглофрезерованием и ШД.

Отмечено, что наряду с комбинированной обработкой иглофрезерованием и ШД возможна и совмещенная обработка. Рассмотрены технологические возможности совмещения обработки иглофрезерованием и ШД, разработаны принципы указанного совмещения на основе опыта по а.с. 131018%. На основании разработанного способа для совмещения процессов иглофрезерования и ШД необходимо, чтобы частота вращения в главном движении при ШД определялась

$$N_{\text{ш}} = (0,9-2,0) \cdot \frac{N_{\text{ш}} \cdot Z_{\text{ш}}}{R_{\text{пр}} \sqrt{V_{\text{пр}} K_{\text{пр}} \epsilon - \epsilon_2} \cdot Z_{\text{г}}} \cdot N_{\text{ш}}$$

где  $N_{\text{ш}}$  и  $N_{\text{г}}$  - частота вращения иглофрез и деформируемых элементов соответственно в движении круговой подачи иглофрез и главным движением деформируемых элементов;  $C, Z_{\text{ш}}$  и  $Z_{\text{г}}$  - количество иглофрез и деформируемых элементов, шт.;  $R_{\text{пр}}$  - радиус профиля деформируемого элемента в продольном сечении, мм;  $\epsilon$  - налет деформируемого элемента, мм;  $N_{\text{ш}}$  - ширина рабочей части иглофреза, мм. Разработано устройство для совмещенной обработки иглофрезерованием и ШД (а.с. 1306071).

В шестой главе рассмотрено промышленное применение комбинированной обработки иглофрезерованием и ШД.

Обобщенность технологического процесса комбинированной обработки иглофрезерованием и ШД является несомненной особенностью микротехнологии при иглофрезеровании и ШД, заключающейся в том, что минимальная подача заготовки при ШД должна превышать минимальную подачу при иглофрезеровании до 20% (а.с. 1355487).

При проектировании оборудования для комбинированной обработки следует обеспечивать установку иглофрез и деформируемых элементов на расстоянии превышающем длину заготовки, а также независимость движений круговой и продольной подачи.

Предложена классификация иглофрезерного оборудования для обработки цилиндрических заготовок, позволяющая целенаправленно подходить к проектированию нового оборудования на основе анализа

осуществляемого.

Разработаны основные технические решения в конструкции баббэнгено-иглофрезерного станка, защищенные а.с. 1618589, 1634392, 1668058.

Внедрение технологических для обработки толщью 6-ти наименований деталей позволило получить головной экономический эффект 5,142 тыс.руб.

Разработаны и внедрены опосредованной обработки деталей (а.с. 1371800), позволяющей осуществлять комбинированную обработку иглофрезерованием и ШД с использованием одной иглофрез.

## В Н В О Д Н

1. На основании изучения формирования комплекса параметров качества поверхности разработаны комбинированный процесс отлапочного-защитного и ультрамягкой обработки, дилатационный иглофрезерование и поверхностное пластическое деформирование. Показано, что разработан процесс может эффективно применяться для механической подготовки поверхностей перед нанесением защитных и защитно-декоративных гальванических покрытий.

2. Выявлены основные закономерности формирования микроповреждений единичного среза в зависимости от параметров режима резания при иглофрезеровании. Определены основные характерные признаки процесса и основные закономерности их изменения в зависимости от параметров режима резания.

3. Изучены возможности жесткой и упругой установки иглофрез, а также влияния жесткости пружины при упругой установке иглофрез на параметры качества деталей.

4. Рассмотрены точностные возможности комбинированной обработки иглофрезерованием и ШД. Указанные возможности обработки определяются операцией иглофрезерования. При этом качество точности и стабильность расцеивания динамических размеров не изменяется, стабильность отклонений от круглости и цилиндричности повышается со снижением величины отклонения от цилиндричности и без изменения величины отклонения от круглости. Установлены принципиальные организационные связи на этапах заготовка-иглофрезерования-ШД, а также непосредственная корреляционная связь точностных параметров комбинированной обработки.

5. Осушителям аэриля комплекса параметров шероховатости, долготы микроволности, остаточных напряжений после обработки и гидрофрезерования и ПИД. Определены интервалы изменения параметров режима обработки и достигаемые параметры качества. При гидрофрезеровании со скоростью резания  $V_f = 60-240$  м/мин, продольной подачей  $S$  пр  $= 2,5-10$  мм/об, круговой подачей  $S_{кр} = 1,38-4,46$  м/мин, усилием прижатия  $F = 150-250$  Н (диаметр илг  $0,32$  мм, ширина рабочей шайбы илг  $0,22$  мм) основные параметры качества:  $R_a = 0,26-2,58$  мкм,  $R_{max} = 4,34-20,2$  мкм,  $S_m = 170-556$  мкм,  $W_{пр} = 0,36-8,0$  мкм,  $W_{поп} = 33-48$  мкм, степень упрочнения до  $70\%$ , тлфизна упрочненного слоя  $0,01-0,24$  мм, остаточные напряжения на поверхности  $-300 \dots -800$  МПа. Последующие ПИД ролком в  $R_{пр} = 10,5$  мм о продольной подачей  $0,2-0,7$  мм/об, усилием деформирования  $200-1400$  Н изменяет величина параметров качества: уменьшает  $R_a$  до  $44\%$ ,  $R_{max}$  до  $74\%$ ,  $W_{пр}$  до  $45\%$ ,  $W_{поп}$  до  $44\%$ ; повышает  $S_m$  до  $140\%$ , микроволность поверхности до  $71\%$ , ожимаемые остаточные напряжения до  $26\%$ . Установлены основные закономерности изменения параметров качества в зависимости от параметров режима гидрофрезерования и ПИД.

6. Гидрофрезерование обеспечивает коррозонную стойкость аналогичную стойкости заготовки, а в отдельных случаях увеличивает ее по сравнению с исходной. ПИД увеличивает стойкость гидрофрезерованных поверхностей на  $25-30\%$ .

7. Установлено, что минимальная высота микрорельефности достигается при следующих параметрах режима обработки: гидрофрезерование -  $V_f = 150$  м/мин,  $S$  пр  $= 2,5$  мм/об,  $S_{кр} = 4,46$  м/мин,  $F = 150$  Н, ПИД -  $S = 0,1-0,3$  мм/об,  $F = 600-800$  Н.

8. Решение комплексной задачи позволило определить параметры режима гидрофрезерования, обеспечивающие достижение максимальной проволочности при заданной высоте микрорельефности и максимальной микроволности поверхности при заданной тлфизне упрочненного слоя.

9. Комбинированная обработка гидрофрезерованием и ПИД повышает износоустойчивость деталей по сравнению с заготовкой на  $105-120\%$ , в том числе на операции гидрофрезерования на  $70-80\%$ , на последующей операции ПИД еще на  $35-40\%$ .

10. Установлена технологическая возможность совмещения гидро-

фрезерования и ПИД (а.с. 1306071, 1310182), получена закономерность такого совмещения.

11. Определены основные особенности комбинирования гидрофрезерования и ПИД (а.с. 1355467) и разработаны три технических решения в компьютерном децентрализованном гидрофрезерном станке для реализации обработки (а.с. 1613589, 1634392, 1669058).

По заключению ЦКТИ внедрение экономический эффект от внедрения процесса на одном валзаводе составляет  $35-40$  тыс. руб. в год. Внедрение на МВЗ техпроцессов для обработки только 6-ти наименований деталей позволило получить годовой экономический эффект  $5,142$  тыс. руб.

12. Разработан и внедрен способ обработки деталей (а.с. 1371800), позволяющий осуществлять комбинированную обработку гидрофрезерованием и ПИД с конгользонанием одной илгфрез.

Основные положения и результаты диссертации опубликованы в следующих работах:

1. Баршай И.Л., Абутов А.Л. Технологические возможности управления качеством обработки при гидрофрезеровании; рел.об. "Технология и организация производства". - К., 1986. - 7 с., ил. - Вис-лицор.: 2 назв. - Дел. в УкраинИИТИ, № 1707-Ук.

2. Абутов А.Л. Совмещенная обработка деталей // Машиностроитель. - 1986. - № 11. - С. 19-20.

3. Баршай И.Л., Абутов А.Л. Кинематические зависимости при совмещенной обработке гидрофрезерованием и поверхностью подготовленными деформированием // Машиностроение. - Мн: Вышшая школа, 1987. - Вып. 12. - С. 20-22.

4. Абутов А.Л., Пасиков И.Д. Подготовка илгфрез перед обработкой // Машиностроитель. - 1987. - № 3. - С. 22.

5. Абутов А.Л. Гидрофрезерная обработка цилиндрических деталей // Машиностроитель. - 1987. - № 6. - С. 21-22.

6. Абутов А.Л. Выбор схем упрочнения илгфрез при обработке заготовок // Станки и инструмент. - 1987. - № 8. - С. 24-25.

7. Абутов А.Л., Баршай И.Л., Фольдштейн В.З. Экспериментальное исследование динамики микрорезания при гидрофрезеровании // Известия вузов. Машиностроение. - 1987. - № 8. - С. 140-142.

8. Абутов А.Л., Баршай И.Л., Фельдштейн В.З. Формирование микрорельефа окончного среза при гидрофрезеровании // Машиностро-

- енге. — Мн.: Вышэйшая школа, 1988. — Вып. 13. — С. 25-29.
9. Абутов А.Л., Баршай И.Л. Почность цилиндрических деталей после обработки итлфрезерованием // Приборостроение. — Мн.: Вышэйшая школа, 1988. — Вып. 10. — С. 124-127.
10. Абутов А.Л. Обработка заточков проволочным инструментом // Автомобильная промышленность. — 1988. — № 4. — С. 30-31.
11. Абутов А.Л., Баршай И.Л. Комбинированная обработка деталей // Машиностроитель. — 1988. — № 8. — С. 19.
12. Абутов А.Л., Баршай И.Л. Поверхностное пилающее действие фрезерование деталей, предварительно обработанных итлфрезерованием: ред. ж. "Станки и инструмент". — М., 1988. — 90 с.: ил. — Библиогр. 5 назв. — Ден. во ВНИИТЭМР, № 178-млн88.
13. Абутов А.Л., Баршай И.Л. Отдельно-защитная обработка деталей итлфрезерованием: ред. ж. "Станки и инструмент". — М.: 1988. — 16 с.: ил. — Библиогр. 6 назв. — Ден. во ВНИИТЭМР, № 876-млн88.
14. Абутов А.Л., Баршай И.Л. Рациональные условия обработки итлфрезерованием цилиндрических деталей // Совершенствование приборостроительной технологии и оборудования. — Ростов-на-Дону: РИУМ, 1988. — С. 118-120.
15. Абутов А.Л. Структурообразование при итлфрезерной обработке: ред. ж. "Станки и инструмент". — М., 1988. — 8 с.: ил. — Библиогр. 5 назв. — Ден. во ВНИИТЭМР, № 44-млн89.
16. Абутов А.Л. Особенности применения итлфрезерной обработки // Машиностроитель. — 1989. — № 2. — С. 30-31.
17. Абутов А.Л., Баршай И.Л., Худолой Т.Б. Прогрессивная технология и оборудование для механической подготовки деталей под гальванические и лакокрасочные покрытия. — Мн.: БелНИИПТИ, 1989. — 36 с.
18. Абутов А.Л., Баршай И.Л. Остающиеся напряжения в поверхностном слое деталей после итлфрезерования // Машиностроение. — Мн.: Вышэйшая школа, 1989. — Вып. 14. — С. 48-50.
19. Абутов А.Л., Баршай И.Л. Поверхностное упрочнение деталей при обработке итлфрезерованием // Известия вузов. Машиностроение. — 1989. — № 3. — С. 97-102.
20. Абутов А.Л., Баршай И.Л. Новое в технологии обработки деталей проволочным инструментом. — Мн.: БелНИИПТИ, 1990. — 48 с.

21. Абутов А.Л., Баршай И.Л. Качество поверхностей цилиндрических деталей при итлфрезеровании // Машиностроение. — Мн.: Вышэйшая школа, 1990. — Вып. 15. — С. 68-71.
22. Абутов А.Л., Баршай И.Л. Влияние итлфрезерования на коррозионную стойкость низкоуглеродистых сталей // Защита металлов. — 1990. — Т. 26. — № 3. — С. 473-474.
23. Абутов А.Л. Итлфрезерные станки для обработки цилиндрических заточков // Станки и инструмент. — 1990. — № 7. — С. 41-42.
24. Абутов А.Л. Итлфрезерование цилиндрических и плоских заточков // Станки и инструмент. — 1991. — № 6. — С. 32-33.
25. А.с. 1206071. Устройство для совместной обработки резаным и обкаткой / В.В.Бабук, А.Л.Абутов. — Опубл. в Б.И. № 3, 1986.
26. А.с. 1240521. Способ итлфрезерной обработки / А.Л.Абутов. — Опубл. в Б.И. № 24, 1986.
27. А.с. 1310182. Способ повышенной обработки итлфрезерованием и обкаткой / А.Л.Абутов, И.Л.Баршай. — Опубл. в Б.И. № 18, 1987.
28. А.с. 1355467. Способ комбинированной обработки / А.Л.Абутов, И.Л.Баршай. — Опубл. в Б.И. № 44, 1987.
29. А.с. 1371800. Способ итлфрезерной обработки / А.Л.Абутов, И.Л.Баршай. — Опубл. в Б.И. № 5, 1988.
30. А.с. 1576251. Способ итлфрезерной обработки / А.Л.Абутов. — Опубл. в Б.И. № 25, 1990.
31. А.с. 1618589. Устройство для бензиново-итлфрезерной обработки / А.Л.Абутов и др. — Опубл. в Б.И. № 1, 1991.
32. А.с. 1634392. Подвижное углеродное бензиново-итлфрезерное станка / А.Л.Абутов и др. — Опубл. в Б.И. № 10, 1991.
33. А.с. 1668058. Бензино-итлфрезерный станок / А.Л.Абутов и др. — Опубл. в Б.И. № 29, 1991.

*И.Л. Баршай*